

$\beta\text{-Al}_2\text{O}_3$ 고체전해질의 퇴화모델

송효일 · 김용수 · 윤기현
연세대학교 공과대학 요업공학과
(1985년 7월 8일 접수)

A Model for Degradation of $\beta\text{-Al}_2\text{O}_3$ Solid Electrolyte

Hyo-Il Song, Eung-Soo Kim and Ki-Hyun Yoon
Dept. of Ceram Eng., Yonsei Univ.
(Received 8 July, 1985)

ABSTRACT

A model for degradation of $\beta\text{-Al}_2\text{O}_3$ is derived from stress generated by Poiseuille pressure, capillary effect and effluent flux in charging process of Na-S Battery.

Critical current density for degradation increase with increasing the crack length and crack tip radius.

Calculated critical current density based on present model is 1.0299A/cm^2 for crack width 10^{-3}cm , crack tip radius 10^{-7}cm and crack length 10^{-5}cm .

Dependence of crack growth velocity on crack length is separated two regions, that is, for a large crack length, it is predominated by Poiseuille pressure and effluent flux, but in the case of small crack length, it is controlled by capillary effect.

1. 서 론

에너지 저장 및 변환기구로써 산화물을 전해질로 사용하는 고체 전지는 에너지의 효율적인 이용을 위해 load leveling system 등 용용에 많은 잠재력을 갖고 있을 뿐만 아니라 특히 전기자동차의 무공해 동력원으로서 이용될 전망이다¹⁾⁻³⁾.

양이온 전도체의 경우 전기화학적으로 이온이 중성화되는 전해질의 계면으로부터 반응물인 액상의 금속이 filament 형태로 성장되는 퇴화는 매우 일반적이며 쥐성을 갖는 세라믹의 표면은 매우 조심스럽게 취급하더라도 기계적인 접촉을 하면 균열이나 미세한 흠이 생긴다⁴⁾. 이런 흠의 크기나 분포상태는 세라믹의 파괴 강도에 영향을 주고 고체전해질의 경우 이런 흠은 응력이나 전류를 집중시켜 퇴화를 가속화 시킨다.

Na-S 전지에 있어서 충전시 액상의 Na과 $\beta\text{-Al}_2\text{O}_3$ 의 계면에서 Na filament가 성장하여 궁극적으로 전지의 전기적 단락을 일으키고⁵⁾ 기계적 강도를 현저하게 저하시킴이 실험적으로 밝혀졌다⁶⁾.

따라서 본 연구에서는 Na-S 전지의 고체전해질인 $\beta\text{-Al}_2\text{O}_3$ 의 퇴화에 관해 이론적으로 모델화하여 퇴화를 일으키는 임계 전류밀도를 계산하고 퇴화의 진전속도를 예측하여 이미 발표된 $\beta\text{-Al}_2\text{O}_3$ 고체전해질의 실험치와 비교 검토하므로써 퇴화기구를 밝히고자 한다.

2. 기존 모델의 고찰

Na-S 전지의 고체전해질의 퇴화모델로 Armstrong 등⁵⁾은 Na-filament가 성장됨에 따라 전해질의 저항감소 즉 전자에 의한 전기전도가 증가하여 퇴화를 일으키고 가속화 된다고 주장하였다. 이 모델은 전개가 매우 논리적이지만 균열 주위에 Na 이온이 집중되는 "threshold" 전류밀도 개념이 도입되지 않아 elastic 이론에 위배되었다. Richman과 Tennenhouse는⁷⁾ 응력이 계재됨에 따라 부식이 가속화되어 퇴화를 일으키고 그 결과 기계적 강도가 혈지하게 감소된다는 stress aided corrosion 모델을 제시하였다. 이 모델을 근거로 계산한 임계 전류밀도는 실험치와 근사한 값을 갖지만 균열길이와 균열내 압력의 함수인 균열폭을 임의로 고

정하는(균열폭=1.5배의 균열길이)결합을 가지고 있다. 따라서 Shetty 등⁹은 균열길이에 따라 압력이 직선적으로 변한다고 가정하고 Sneddon과 Das의 방법⁹을 이용하여 균열길이에 따른 균열폭의 변화를 구했으나 이를 기초로 계산한 결과 임계 전류밀도 값이 실험치보다 매우 커졌다. 따라서 균열선단에서의 압력변화가 좀 더 정확하게 유도되어야 한다고 제안했다. De Jonghe¹⁰는 전기장 이론을 도입하여 균열내의 압력변화가 \tanh^{-1} 의 함수임을 밝혔지만 이런 압력변화를 갖는 균열의 형상은 DeJonghe가 가정한 것처럼 타원형 모양이 아니다. 한편 DeJonhe¹¹는 앞서의 모델들 즉 Poiseuille 압력에 의해서 균열이 성장되는 것을 Mode I 퇴화라 하고 세라믹 견해결과 액상 Na은 접촉시키고 전류를 흐르게 하던 세라믹 전해질에 화학적 colouration을 발견하고 그 원인은 전자의 인업으로 내부에 끌어온 Na을 형성시킴에 따라 전도면에 있는 산소가 전자를 얹게 되어 결합이 생기고 이 결합이 colour center로 작용하기 때문이라고 주장하여 이를 Mode II 퇴화라 하였다. 그러나 앞서의 모델로 부터 균열을 진전시키는 전류밀도를 계산하면 실험치보다 매우 크므로 Virkar¹²등은 액상 Na이 고체전해질에 부분적으로 젖지(wetting) 않음에 따라 계면에 전류의 흐름을 방해하는 blocking layer가 형성되는 것을 고려하지 않은 결과라고 제시하기도 했다.

최근에 Nicholson 등¹³은 압축 및 인장 응력하에서 퇴화율을 측정한 결과 두 경우 모두 퇴화율이 증가한다고 실험결과를 발표하였다. 결과적으로 Poiseuille 압력을 고려한 Mode I 퇴화모델은 문제점이 있음을 알 수 있다.

3. 퇴화모델 설정

퇴화에 따른 전류밀도 및 퇴화속도를 정량적으로 예측하기 위해 실제 균열형상과 가장 근접하도록 Fig. 1과 같이 3차원적인 리본모양을 채택한다.

3차원적인 접근으로 정확한 분석은 매우 복잡하므로 먼곳에서 작용하는 수축등의 압력하에서 균열선단을 재의한 어떤 점의 응력상태와 strain은 그 김의 분포에 의존하지 않고 축적된 압력에 의존한다는 Saint Venant's principle¹⁴을 근거로 단순화 시킬 수 있으며 충전시 고체전해질의 퇴화는 균열선단에서 만족적으로 생기는 기계적 파괴보다는 이온-이온간의 제거(이동) 과정으로 생각한다. 따라서 균열의 진전은 균열선단에서 $\beta\text{-Al}_2\text{O}_3$ 의 우선적인 용해에 의해 이루어진다고 하면 균열을 진전시키는 구동력은 Poiseuille 압력으로 생

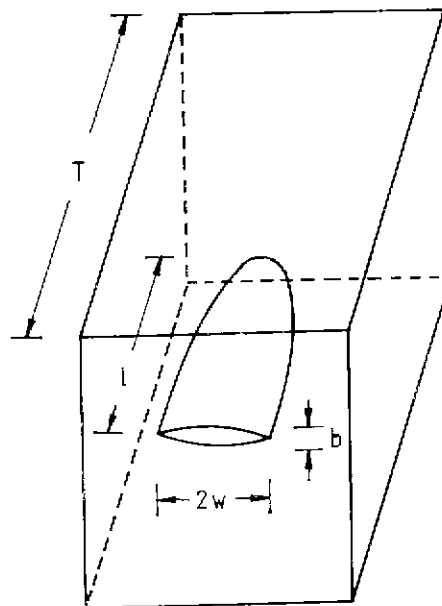


Fig. 1. Schematic showing a crack of length l and width $2w$ in an elastic body of thickness T ($T \gg l$)

진 응력에 기인한 flux, 모세관 효과에 따른 flux와 총 진전 액상 Na의 flux이다.

3. 1 Poiseuille 압력에 따른 flux

액상의 Na 금속이 Fig. 1과 같은 타원형 channel의 입구를 향해 흘러 나올 때 균열선단과 입구사이에 대응하는 압력차는 Hagen-Poiseuille law에 의해 결정된다. 따라서 타원형 단면(X-Z면)을 갖는 channel을 통한 액상 Na의 채적흐름속도 \dot{V} 는 Hagen-Poiseuille law¹⁵에 의해 다음과 같이 주어진다.

$$\dot{V} = \left(\frac{\pi P}{4\eta l}\right) \left(\frac{w^3 b^3}{w^2 + b^2}\right) \quad \dots (1)$$

여기서 P : 국부압력

η : 액상 Na의 점도

일반적으로 균열의 형상에서 $w \gg b$ 이므로 식(1)은

$$\dot{V} = \left(\frac{\pi P}{4\eta l}\right) w b^3 \quad \dots (2)$$

가 된다. Fig. 1에서 y 축상 y 와 $y-dy$ 사이의 압력변화는 식(2)로 부터 구할 수 있다.

$$dP = \frac{4\dot{V}\eta}{\pi w b^3} dy \quad \dots (3)$$

국부압력과 균열입구의 변위는 연관적으로 균열선단과 매우 가깝지 않은 곳에서 타원형 단면의 지름 b

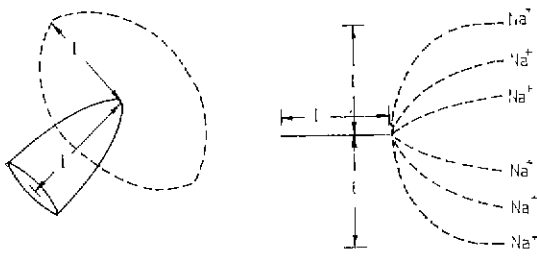


Fig. 2 Effective area of current focussing near crack tip.

는 다음과 같다¹⁶⁾.

$$b = \frac{(1-\nu^2)wP}{E} \quad : (4)$$

여기서 ν : poison's 비

E : β -Al₂O₃의 young's modulus

식(4)와 (3)으로 부터 압력변화는 다음과 같다.

$$dP = \frac{4\dot{V}\eta E^3}{\pi w^4 (1-\nu^2)^3 F^3} dy \quad : (5)$$

또한 Fig. 1의 균열이 액상 Na으로 채워져 있으므로 고체점해질의 계면에 있는 균열은 금속 Na과 β -Al₂O₃의 전기전도도가 약 10⁶배정도 차이가 나므로 전류를 집중시키는 역할을 하게 된다. 즉 균열은 주위보다 아주 낮은 저항을 가지므로 통로역할을 하게 되어 potential 구배가 생기게 되고 따라서 Na⁺이온은 균열선단에 집중된다. 이때 집중되는 경도는 균열길이의 합수가 되고 Richman과 Tennenhouse¹⁷⁾에 따르면 균열선단으로부터 균열길이 l 내에 있는 Na⁺이온이 집중되게 되므로 Fig. 2와 같은 effective circular area를 고려하여야 한다. 균열로 집중되는 전류는

$$I(l) = i\pi l^2 \quad : (6)$$

이 된다.

여기서 i : 인가 평균 전류밀도 (A/cm^2)

충전시 액상 Na의 채적흐름속도는 Faraday 법칙에 따라 다음과 같다.

$$\dot{V} = \frac{I(l) V_m}{F} = \frac{i\pi l^2 V_m}{F} \quad : (7)$$

여기서 V_m : Na의 물체적

F : Faraday 상수

균열내에서의 압력변화는 식(5)와 (7)로 부터 주어지고 균열입구($y=0$)와 균열선단($y=l$)과의 압력차이는 다음과 같다.

$$\Delta P(y) = \left[\frac{16\eta V_m E^3}{(1-\nu^2)^3 F} \right]^{1/4} \left(\frac{l^3}{w^4} \right)^{1/4} \quad : (8)$$

외부에서 가하는 응력 σ_a 와 균열선단에서의 응력 σ 와의 관계는

$$\sigma = \sigma_a \left(1 + 2 \sqrt{\frac{l}{r}} \right) \quad : (9)$$

로 r 은 균열선단의 반지름이고 $l \gg r$ 이므로

$$\sigma = 2\sigma_a \sqrt{\frac{l}{r}} \quad : (10)$$

이 된다. 응력을 strain 에너지와 비례로 화학적 potential을 증가시키므로

$$\Delta\mu(\sigma) = \frac{\Omega\sigma^2}{2E} \quad : (11)$$

이 되고 여기서 Ω 는 고체의 원자 혹은 아온 체적이다 또한 압력차이 ΔP 는 가하는 응력과 같으므로 식(8), (10), (11)로부터 응력변화에 따른 화학적 potential을 구할 수 있으며 excess solubility $\Delta C(\sigma)$ 는 다음과 같이 구해진다.

$$\begin{aligned} \Delta C(\sigma) &= \frac{C_0 \Delta\mu(\sigma)}{KT} \\ &= \frac{8C_0\Omega}{KT} \left[\frac{\eta V_m E}{(1-\nu^2)^3 F} \right]^{1/2} \cdot \frac{(il^5)^{1/2}}{w^2 r} \end{aligned} \quad : (12)$$

균열선단으로부터 이동하는 용매의 흐름 J 는 Fick's 제 1법칙으로 부터

$$J = -D \left(\frac{\partial c}{\partial y} \right)_{x=0} \quad : (13)$$

이다. 여기서 D 는 액상 Na에서 용매의 확산계수이며 Robertson¹⁷⁾의 liquid-metal embrittlement 가정으로 부터 농도구배는

$$\left(\frac{\partial c}{\partial y} \right)_{x=0} = \frac{C - C_0}{l} = \frac{\Delta C}{l} \quad : (14)$$

로 표시할 수 있다. 따라서 Poiseuille 압력에 의한 용매의 흐름은 다음과 같다.

$$J_s = -\frac{8DC_0\Omega}{KT} \left[\frac{\eta V_m E}{(1-\nu^2)^3 F} \right]^{1/2} \frac{(il^5)^{1/2}}{w^2 r l} \quad : (15)$$

3.2. 모세관 효과에 따른 flux

액상이 채워진 균열내에서 균열표면에 있는 용매의 화학적 potential은 균열표면의 위치에 따라 변한다. 균열입구와 균열선단을 비교하면 모세관 현상은 선단에서 negative curvature 이므로 $\mu_i(\text{선단}) < \mu_i(\text{입구})$ 임을 알 수 있다. 모세관 효과에 따른 화학적 potential은 young's 법칙에 의해 주어지고 균열선단의 curvature는 균열선단의 반경 r 과 같다고 가정하면

$$\Delta\mu(\gamma) = -Q\gamma \left(\frac{2}{r} \right) \quad \dots (16)$$

이 되고 모세관 효과에 따른 용매의 흐름 J_r 는 다음과 같다.

$$J_r = \frac{2C_0 D Q r}{K T r l} \quad \dots (17)$$

3.3 충전시 예상 Na의 flux

Na-S 전지의 충전시 예상 Na의 흐름은 Faraday 법칙에 의해

$$J_E = -\frac{(\text{Vol. Na/S}) \cdot C_0}{A_{tip}} \quad \dots (18)$$

로 주어지고 $A_{tip} = 2\pi r^2$ 이므로 용매의 흐름은

$$J_E = -\frac{V_m C_0 i l^2}{2 F r^2} \quad \dots (19)$$

과 같다.

3.4. 임계 전류밀도

고체전해질인 $\beta\text{-Al}_2\text{O}_3$ 의 균열내에 존재하는 flux의 합(J_T)은 식 (15), (17), (18)로부터 구할 수 있다.

$$J_T = \frac{2C_0 D Q r}{K T r l} - \frac{V_m C_0 i l^2}{2 F r^2} - \frac{8 D C_0 Q}{K T} \left[\frac{\eta V_m E}{(1-\nu^2)^3 F} \right]^{1/2} \frac{(il^3)^{1/2}}{w^2 r} \quad \dots (20)$$

$J_T=0$ 에서 J_r 는 J_E 에 의해 균형이 유지되고 이때 흐르는 평균 전류밀도가 임계 전류밀도가 된다. 식(20)으로부터 임계 전류밀도는 일정한 온도에서 균열폭, 길이 및 선단반지름의 함수임을 알 수 있다. 이들 변수의 상호관계를 정확히 유도 할 수 있다면 정확한 임계 전류밀도를 구할 수 있지만 본 모델에서 택한 균열의 형상이 3차원적으로 매우 복잡하므로 지금까지 실험을 통해 알려진 값과 함께 여러 가지의 균열선단 반지름과 균열폭에 대해서 균열의 길이에 따라 계산한 임계 전류밀도의 변화는 Fig. 3과 4에 도시하였다.

3.5. 균열 전전속도

균열의 단면적을 통해 단위 시간당 이동하는 용매의 체적은

$$\frac{dV}{dt} = A_{tip} \left(\frac{dl}{dt} \right) = -Q A J_T \quad \dots (21)$$

이므로 균열의 전전속도 V 는

$$V = \frac{dl}{dt} = -Q J_T \quad \dots (22)$$

가 된다. 따라서 앞서의 식들로부터 균열의 전전속도는 다음과 같이 된다.

$$V_{\text{crack}} = -\frac{2DC_0Q^2l}{KTl} + \frac{V_mC_0Q\Delta il^2}{2Fr^2}$$

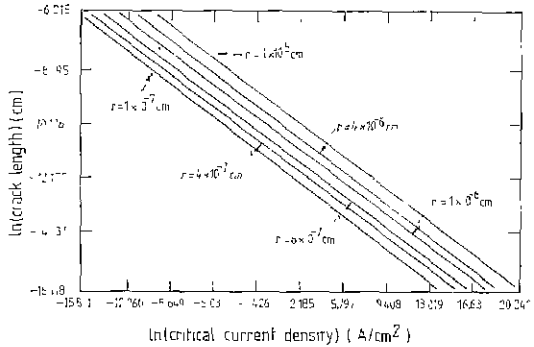


Fig. 3. Variation of critical current density with crack length for several tip radius and crack width $5 \times 10^{-3}\text{cm}$.

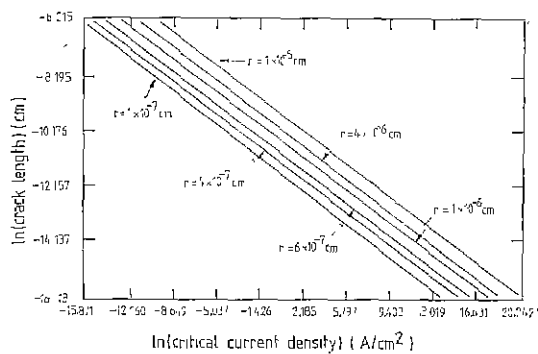


Fig. 4. Variation of critical current density with crack length for several tip radius and crack width $5 \times 10^{-4}\text{cm}$.

$$+ \frac{8DC_0Q^2}{KT} \left[\frac{\eta V_m E}{(1-\nu^2)^3 F} \right]^{1/2} \frac{(\Delta il^3)^{1/2}}{w^2 r} \quad \dots (23)$$

앞서 사용했던 상수값과 전류밀도(Δi)는 임계 전류밀도에 $0.1\text{A}/\text{cm}^2$ 을 더한 값을 대입하여 여러 가지 균열선단 및 속도에서 균열길이에 따른 균열전전속도의 변화는 Fig. 5 및 6과 같다.

균열전전속도는 균열길이에 따라 두개의 영역으로 나눌 수 있다. 균열선단의 반지름이 10^{-5}cm 일 때 균열길이가 $8.546 \times 10^{-5}\text{cm}$ 보다 작으면 균열길이가 작아짐에 따라 균열전전속도는 증가하고 $8.546 \times 10^{-5}\text{cm}$ 보다 큰 경우 반대의 경향을 나타낸다. 이는 식(23)에서도 볼 수 있듯이 균열길이가 작은 경우 모세관 효과가 균열전전 속도에 기여적임을 의미한다. 반면 균열길이가 증가함에 따라 모세관 효과보다는 Poiseuille 압력과 총

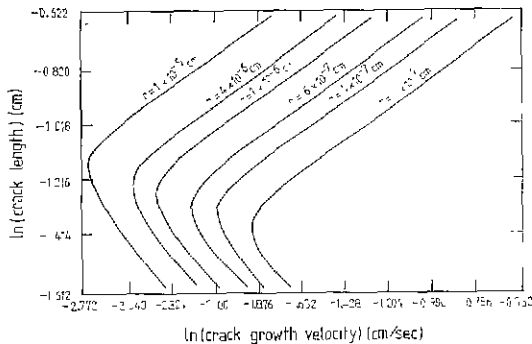


Fig. 5. Variation of crack growth velocity with crack length for several tip radius and crack width $5 \times 10^{-3} \text{ cm}$.

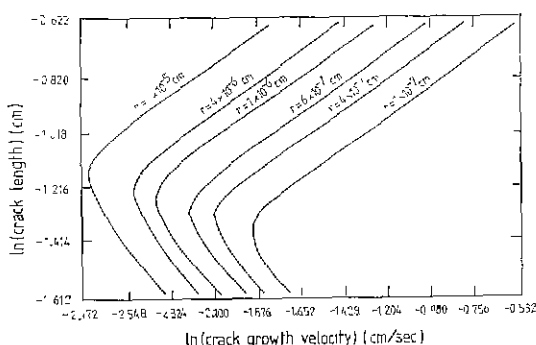


Fig. 6. Variation of crack growth velocity with crack length for several tip radius and crack width $5 \times 10^{-4} \text{ cm}$.

전시 유출되는 액상 Na에 의존함을 알수 있다. Fig. 5 와 6을 비교해 보면 균열진전속도는 균열폭에 의존하는 정도가 매우 작음을 알수 있다.

4. 고 칠

Na-S 전지의 충전과정에서 발생되는 퇴화의 구동력으로 Poiseuille 압력에 의한 응력, 모세관 효과, 액상 Na의 유출을 근거로 설정하여 3차원적 접근으로 모델화하였다. 실제로 전류가 흐르지 않는 상태에서도 모세관 효과에 의해 퇴화를 일으키는 Na-filament가 성장된다는 것을 알수 있다. 이는 DeJonghe 등¹¹⁾이 실험을 통해 $\beta\text{-Al}_2\text{O}_3$ 세라믹과 액상 Na을 접촉시키면 $\beta\text{-Al}_2\text{O}_3$ 세라믹에 화학적 colouration이 일어난다고 밝

혔것과 최근에 Nicholson¹²⁾은 Poiseuille 압력만을 고려하여서는 퇴화의 과정을 묘사 할수 없다고 주장한 것들을 감안할 때 매우 타당하며 3차원적인 접근으로 확산에 따른 정확한 힘수관계를 유도하지 못하고 많은 가정을 포함했지만 퇴화기구를 밝히고 정량적인 이론 치의 계산은 유효하다 하겠다.

한편 Poiseuille 압력만을 고려하여 2차원적인 접근 방법에 의해 Armstrong⁵⁾등은 균열의 길이가 $100 \mu\text{m}$ 이고 균열폭이 $60 \mu\text{m}$ 일때 일계 전류밀도가 150.6 A/cm^2 임을 Virkar¹³⁾은 $12,400 \text{ A/cm}^2$ 의 값을 보고 있었는데 지금까지 실험결과 밝혀진 $1 \sim 2 \text{ A/cm}^2$ 의 값과 큰 차이를 나타내고 있다. 또한 shetty 등¹⁴⁾은 균열의 길이가 $100 \mu\text{m}$ 이고 균열폭이 $60 \mu\text{m}$ 일때 95 A/cm^2 의 값을 구하였다. 본 모델을 근거로 균열폭은 $\beta\text{-Al}_2\text{O}_3$ 결정립의 크기에 비례하므로 $\beta\text{-Al}_2\text{O}_3$ 세라믹의 결정립 크기와 전주어 균열폭이 10^{-3} cm 이고 균열선단의 반지름이 각각 10^{-7} cm 의 $2 \times 10^{-7} \text{ cm}$ 이고 균열의 길이가 10^{-5} cm 일때 계산하면 일계 전류밀도는 각각 1.0299 A/cm^2 와 2.059 A/cm^2 으로 지금까지 알려진 실험결과 값과 매우 근접함을 알수 있다. 일계 전류밀도보다 낮은 전류가 흐를 저라도 $\beta\text{-Al}_2\text{O}_3$ 전해질의 표면에 존재하는 흄이나 균열은 퇴화의 근거지가 되어 전류밀도와 힘수관계를 갖지 않고 단지 균열 형상의 할수인 모세관 효과에 의해 균열이 미세하게 성장됨에 따라 균열의 길이에 강하게 의존하는 Poiseuille 압력과 유출되는 액상 Na으로 일계 전류밀도는 급격히 감소하게 되고 따라서 균열의 전진속도는 급격히 증가하게 되고 결국 짧은 시간에도 고체전해질의 퇴화가 가능하게 됨을 알수 있다.

5. 결 론

1) 균열의 길이가 작아지고 균열선단의 반지름이 커짐에 따라 일계 전류밀도는 증가한다.

2) 균열의 전진속도는 균열의 길이에 따라 모세관 효과의 저해를 받는 영역과 Poiseuille 압력 및 유출되는 액상 Na의 저해를 받는 영역으로 나누어 진다.

3) 균열폭이 10^{-3} cm , 균열선단의 반지름이 10^{-7} cm 이고 균열의 길이가 10^{-5} cm 일때 일계 전류밀도는 1.0299 A/cm^2 이다.

감사의 말씀

본 연구는 한국과학재단의 연구비로 이루어 진 것으로 한국과학재단에 깊은 감사를 드린다.

REFERENCES

- Y. F. Yao and J. T. Kummer, "Ion Exchange

- Properties and Rates of Ionic Diffusion in β -alumina", *J. Inorg. Nucl. Chem.*, **29**, 2453(1967).
2. J. T. Kummer and N. Weber, "A Sodium-Sulfur Secondary Battery", *Soc. Automot. Eng. Trans.*, **67**, 1003(1968).
 3. D. J. Green and S. Hutchins, "Solution Spray-dried and Frozen-dried Sodium Beta-alumina Powder Preparation and Hot Pressing", *Mat. Sci. Monogr.*, **6**, 964(1980).
 4. T. L. Johnston, in "Mechanical Behaviour of Crystalline Solid", *Nat. Bur. Stand(U.S.) Monogr.*, **59**, 113(1963).
 5. R. D. Armstrong, T. Dickinson and J. Turner, "The Breakdown of β -Al₂O₃ Ceramics Electrolyte", *Electrochimica Acta.*, **19**, 187(1974).
 6. G. J. Tennehouse, R. C. Ku, R. H. Richman and T. J. Whalen, "Deterioration in Ceramic Electrolytes for Na-S Battery", *Bull. Amer. Ceram. Soc.*, **54**, 523(1975).
 7. R. H. Richman and G. J. Tennehouse, "A Model for Degradation of Ceramic Electrolyte in Na-S Batteries", *J. Am. Ceram. Soc.*, **58**, 63(1975).
 8. D. K. Shetty, A. V. Virkar and R. S. Gordon, in "Fracture Mechanics of Ceramics", ed. by R. C. Bradt, D. R. H. Hasselman and F. F. Lange, Plenum Press, New York(1977).
 9. I. N. Sneddon and S. C. Das, *Int. J. Eng. Sci.*, **9**, 25(1971).
 10. L. C. DeJonghe and L. A. Feldman, "Initiation of Mode I Degradation in Sodium Beta Alumina Electrolytes", *J. Mat. Sci.*, **17**, 517(1982).
 11. L. C. DeJonghe and A. Buchele, "Chemical Colouration of Sodium-beta Alumina", *ibid.*, **17**, 885(1982).
 12. A. V. Virkar, L. Viswanathan and D. R. Biswas, "On the Deterioration of β'' -Al₂O₃ Ceramics under Electrolytic Condition", *ibid.*, **15**, 302(1980).
 13. P. S. Nicholson and K. Kurabayashi, "The Deterioration of Sodium Ion Conductors under Applied Stress", *ibid.*, **18**, 1590(1983).
 14. S. P. Timoshenko and J. M. Goodier, in "Theory of Elasticity", 3rd, ed. McGraw-Hill Book Co., New York(1970).
 15. R. Berker, in "Hnadbuch der Physik", ed. by S. Flugge, Springer-Verlag, Berlin (1963).
 16. I. N. Sneddon and M. Lowengrub, "Crack Problems in the Classical Theory of Elasticity", John Wiley and Sons, New York(1969).
 17. Robertson, "Propagation of a Crack Filled with Liquid Metal", *Trans. Metal. Soc. of AIME.*, **236**, 1478(1966).
 18. A. V. Virkar, "On Some Aspects of Breakdown of β'' -Al₂O₃ Solid Electrolytes", *J. Mat. Sci.*, **16**, 1142(1981).